

УДК 629.179.14

В. В. Яковенко, д-р техн. наук,
В. В. Букреев, канд. техн. наук,
И. А. Берёзкина, канд. пед. наук

Восточноукраинский национальный университет
имени Владимира Даля, г. Луганск

МАТЕМАТИЧЕСКОЕ МОДЕЛИРОВАНИЕ ИМПУЛЬСНОГО РЕЖИМА ВОЗБУЖДЕНИЯ ФЕРРОЗОНДА

В статье предложена математическая модель импульсного режима функционирования феррозонда. Математическая модель учитывает влияние вихревых токов в сердечниках феррозонда. Определены параметры эквивалентной схемы цепи возбуждения при импульсном возбуждении. Определён коэффициент преобразования феррозонда, который возбуждается однополярными прямоугольными импульсами.

Ключевые слова: феррозонд, импульс, электромагнитное поле, эквивалентная схема, коэффициент преобразования, амплитуда, вихревые токи.

Постановка проблемы. По сравнению с обычным режимом работы феррозонда (ФД), режимом второй гармоники [1], однополярное импульсное возбуждение ФД имеет определённые преимущества: повышенный на порядок коэффициент преобразования, простую электронную схему генератора возбуждения и схему обработки выходного сигнала. Такой режим работы феррозонда используется в том случае, когда нет необходимости в низком пороге чувствительности, и когда устройство содержит матрицу феррозондов, функционирующих в условиях высокого. За исключением [2], в литературных источниках отсутствуют результаты теоретических исследований, дающих возможность оценить величину коэффициента преобразования ФД по известным параметрам сердечника, обмотки и импульса возбуждения. В настоящей статье предлагается математическая модель процесса возбуждения феррозонда прямоугольными однополярными импульсами, позволяющая определить характеристики ФД в указанном режиме.

Цель данной работы — разработка математической модели процесса однополярного импульсного возбуждения феррозонда.

Математическая модель.

1. Динамика перемагничивания сердечников ФД

При импульсном перемагничивании сердечников ФД короткими импульсами тока ($t_u = 5 \div 20 \text{ мкс}$) с крутым фронтом следует учитывать влияние вихревых токов на процесс перемагничивания. Влияни-

ем явления магнитной вязкости пренебрегается, так как сердечники обычно имеют толщину более чем $0,05 \cdot 10^{-3} \text{ м}$. Магнитная проницаемость сердечника считается величиной постоянной.

Пусть сердечник ФД представляет собой пластину прямоугольного сечения толщиной $2a$, высотой h и длиной l (рис. 1).

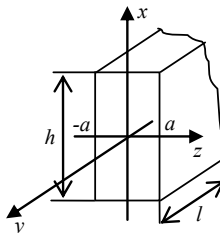


Рис. 1. Геометрическая модель ФД

Изображение по Лапласу уравнений электромагнитного поля для одномерной задачи имеет вид:

$$\begin{aligned}\frac{dH(p)}{dz} &= \gamma E(p) = \delta(p); \\ \frac{dE(p)}{dz} &= -\mu_0 \mu p H(p),\end{aligned}\quad (1)$$

где z — координата, нормальная к боковой поверхности пластины, $H(p)$ — изображение напряжённости магнитного поля в сердечнике, $E(p)$ — изображение напряжённости электрического поля в сердечнике, $\delta(p)$ — изображение плотности вихревых токов, γ — удельная проводимость материала сердечника, μ — относительная магнитная проницаемость материала сердечника, $\mu_0 = 4\pi \cdot 10^{-7} \text{ Гн/А}$.

Решение (1) приведено в работе [3].

$$H(p) = H_a \frac{chqz}{chqa}; E(p) = -\frac{p}{\gamma} H_a(p) \frac{shpz}{chqz}, \quad (2)$$

где $q = \sqrt{\mu_0 \mu \gamma p}$, $H_a(p)$ — напряжённость магнитного поля на поверхности сердечника.

Интегрируя плотность тока по длине магнитной линии сердечника l , находим изображение вихревого тока:

$$I_b(p) = l \int_0^a \delta(p) dz = \frac{l H_a(p)(1 - chqa)}{chqa} = l [H_0(p) - H_a(p)], \quad (3)$$

где $H_0(p)$ — изображение напряжённости магнитного поля в центре пластины ($z = 0$).

Переходя к приведенному к обмотке с числом витков w значению вихревого тока, получается:

$$I'_b = -\frac{1}{w} I_b(p).$$

В результате получается эквивалентная схема катушки с сердечником, которая показана на рис. 2.

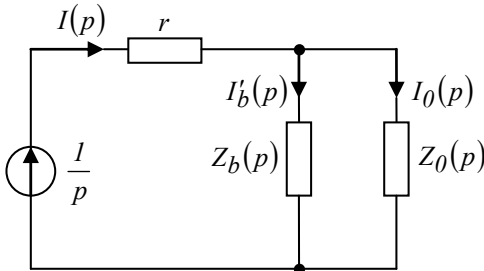


Рис. 2. Эквивалентная схема катушки с сердечником

Значения изображений токов, показанных на эквивалентной схеме (рис. 2) равны:

$$I(p) = \frac{H(p)l}{w}; I_0(p) = \frac{H_0(p)l}{w}.$$

При интегрировании $E(p)$ по контуру сердечника получается изображение ЭДС индукции:

$$\varepsilon(p) = 2hw \frac{qH_a(p)}{\gamma} thqa,$$

поскольку

$$I_0(p) = \frac{H_a(p)l}{wchqa}, \quad (4)$$

получаем, что изображения сопротивлений равны:

$$\begin{aligned} z_b(p) &= \frac{\varepsilon(p)}{I_b(p)} = \frac{2hw^2 q shqa}{\gamma l(chqa - 1)}; \\ z_0(p) &= \frac{\varepsilon(p)}{I_0(p)} = \frac{2hw^2 q shqa}{\gamma l}. \end{aligned} \quad (5)$$

Изображение общего сопротивления равно:

$$z(p) = r + \frac{z_0(p) \cdot z_b(p)}{z_0(p) + z_b(p)} = r + \frac{2hw^2 q}{\gamma l} thqa,$$

где r — сопротивление генератора возбуждения.

Вводяться следуючі обозначення:

$$k = a\sqrt{\mu_0\mu\gamma}; R = \frac{2hw}{\gamma la}$$

і записується зображення тока в проводі катушки:

$$I(p) = \frac{1}{p(r + kR\sqrt{pthk}\sqrt{p})}. \quad (6)$$

Оригинал функції \sqrt{p} знаходиться із наступного соотношення:

$$\frac{I(\sqrt{p})}{\sqrt{p}} \rightarrow \frac{1}{\sqrt{\pi t}} \int_0^\infty i(\tau) e^{-\frac{\tau^2}{4t}} d\tau. \quad (7)$$

Оригинал тока $I(p)$ записується так [3]:

$$i(t) = \frac{1}{\sqrt{\pi t}} \int_0^\infty \left[\frac{1}{r} - \sum_{n=1}^\infty T(\alpha_n) \cos \frac{\alpha_n}{k} \tau \right] e^{-\frac{\tau^2}{4t}} d\tau, \quad (8)$$

де α_n — корни трансцендентного уравнения:

$$r - Ratg \alpha = 0,$$

$$T(\alpha_n) = \frac{2 \cos^2 \alpha_n}{R \alpha_n (0.5 \sin 2\alpha_n + \alpha_n)}.$$

Учитывая, что

$$\frac{1}{\sqrt{\pi t}} \int_0^\infty e^{-\frac{\tau^2}{4t}} d\tau = 1,$$

$$\frac{1}{\sqrt{\pi t}} \int_0^\infty \cos \frac{\alpha_n}{R} \tau e^{-\frac{\tau^2}{4t}} d\tau = \frac{1}{\sqrt{\pi t}} \frac{1}{2} \Gamma\left(\frac{1}{2}\right) \sqrt{4t} F_1 \left\{ \frac{1}{2}; \frac{1}{2}; -\left(\frac{\alpha_n}{k}\right)^2 t \right\} = e^{-\left(\frac{\alpha_n}{k}\right)^2 t},$$

окончательно получаем:

$$i(t) = \frac{1}{r} - \sum_{n=1}^\infty T(\alpha_n) e^{-\frac{\tau_n}{k} t}, \quad (9)$$

де $\tau_n = \left(\frac{k}{\alpha_n}\right)^2$. Следует отметить, что

$$\lim_{\gamma \rightarrow 0} T(\alpha_n) = \frac{1}{r}; \lim_{\gamma \rightarrow 0} \tau_n = \frac{r}{L_0}; L_0 = \frac{2ha\mu_0\mu w^2}{l},$$

поэтому при $\gamma \rightarrow 0$ (9) приходит к обычному выражению

$$i(t) = \frac{u_0}{r} \left(1 - e^{-\frac{r}{L_0} t} \right).$$

Для выполнения начальных условий $t = 0; i = 0$ необходимо, чтобы

$$\frac{1}{r} = \sum_{n=1}^{\infty} T(\alpha_n).$$

Поэтому (9) можно записать так:

$$i(t) = \sum_{n=1}^{\infty} T(\alpha_n) \left(1 - e^{-\frac{t}{\tau_n}} \right). \quad (10)$$

Поскольку τ_n является постоянной времени, то имеет место следующее:

$$\begin{aligned} r_n &= \frac{\alpha_n (0,5 \sin 2\alpha_n + \alpha_n) R}{2 \cos^2 \alpha_n}; \\ L_n &= \frac{k^2 R (0,5 \sin 2\alpha_n + \alpha_n)}{2 \alpha_n \cos^2 \alpha_n}, \end{aligned} \quad (11)$$

и можно перейти к упрощённой эквивалентной схеме катушки с сердечником (рис. 3), где

$$\begin{aligned} r_b &= \frac{r\xi}{1-\xi}; \tau_b = \frac{\zeta}{\xi}; L_b = \frac{r\xi^2}{\xi}; \\ \zeta &= \sum_{n=1}^{\infty} \frac{b r \tau_n}{r_n t_u} \left[e^{-\frac{t_u}{\tau_n}} + \left(\frac{2}{3} - \frac{\tau_n}{t_u} \right) \left(1 - e^{-\frac{t_u}{\tau_n}} \right) \right]; \\ \xi &= \frac{2}{t_u} \sum_{n=1}^{\infty} \frac{b r \tau_n}{r_n t_u} \left[e^{-\frac{t_u}{\tau_n}} + \left(\frac{1}{2} - \frac{\tau_n}{t_u} \right) \left(1 - e^{-\frac{t_u}{\tau_n}} \right) \right], \end{aligned} \quad (12)$$

а t_u — длительность импульса возбуждения.

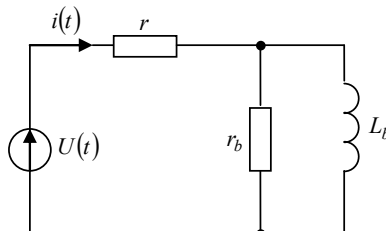


Рис. 3. Упрощённая эквивалентная схема замещения катушки с сердечником

В первом приближении можно считать, что $r_b = r \frac{r_1}{r - r_1}$, где r_1

рассчитывается по формуле (11).

Таким образом, влияние вихревых токов в цепи возбуждения ФД учитывается подсоединением параллельно обмотке возбуждения ФД сопротивления r_b .

2. Определение коэффициента преобразования феррозонда в импульсном режиме возбуждения

Электрическая принципиальная схема феррозонда показана на рис. 4.

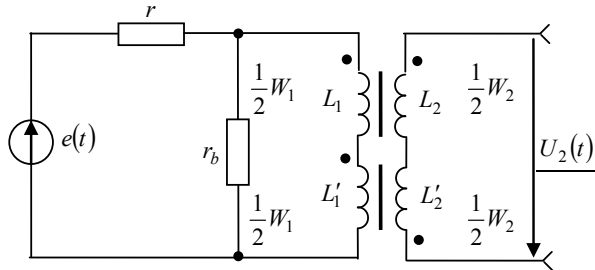


Рис. 4. Электрическая принципиальная схема феррозонда

Функция $B(H)$ в первом квадранте аппроксимируется двумя прямыми (рис. 5). Величина напряженности измеряемого магнитного поля H_0 . Аппроксимация функции $B(H)$ производится по линейному критерию.

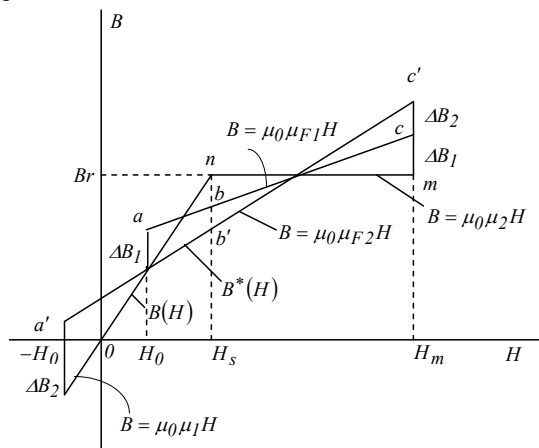


Рис. 5. Аппроксимация функции $B(H)$

$$\max |B(H) - B^*(H)| = \min! \quad (13)$$

Для того чтобы линия $B^*(H)$ являлась минимальным приближением линейно-ломаной линии $B(H)$ необходимо и достаточно, чтобы на заданном интервале аргумента имелись, по крайней мере, три точки, в которых разность $\Delta B = B(H) - B^*(H)$ принимала поочерёдно значения $-\Delta B, \Delta B, -\Delta B$ (ΔB некоторые положительные значения индукции (теорема П. Л. Чебышева)).

Зависимость $B^*(H)$ имеет вид:

$$B^*(H) = \left(\mu_0 \mu_1 - \frac{\Delta B}{H_3 - H_0} \right) \cdot H - \frac{H_0 \Delta B}{H_3 - H_0} + \Delta B. \quad (14)$$

Относительная магнитная проницаемость аппроксимирующих зависимостей $B^*(H)$ будет равна:

$$\mu_{F_{1,2}} = \mu_1 - \frac{H_m (\mu_1 - \mu_2) - \frac{B_r}{\mu_0}}{H_m \mp H_0} + \Delta B. \quad (15)$$

Для цепи возбуждения ФД можно записать следующее соотношение:

$$iR_s + (L_1 + L'_1) \frac{di}{dt} = E_s, \quad (16)$$

где

$$L_1 = \frac{\mu_0 \mu_{F_1} w_1^2 S}{l}; L'_1 = \frac{\mu_0 \mu_{F_2} w_1^2 S}{l}; R_s = \frac{r \cdot r_b}{r + r_b}; E_s = \frac{E \cdot r_b}{r + r_b}. \quad (17)$$

Решением (17) будет функция

$$i = \frac{E_s}{r_s} \left(1 - e^{-\frac{t}{\tau}} \right), \quad (18)$$

где $\tau = \frac{L_0 (\mu_{F_1} + \mu_{F_2})}{r_s}$; $L_0 = \frac{\mu_0 w_1^2 S}{l}$; $t_u > t > 0$.

Напряжение в выходной обмотке ФД рассчитывается по формуле: при $0 < t \leq t_u$

$$u_2 = \frac{E_k w_2 (\mu_{F_1} - \mu_{F_2})}{w_1 (\mu_{F_1} + \mu_{F_2})} \cdot e^{-\frac{t}{\tau}}, \quad (19)$$

при

$$t > t_u \quad u_2 = \frac{I_m r_s k w_2 (\mu_{F_1} - \mu_{F_2})}{w_1 (\mu_{F_1} + \mu_{F_2})} \cdot e^{-\frac{t-t_u}{\tau}} \quad (20)$$

$$I_m = \frac{E_9}{R_9} \left(1 - e^{-\frac{t_u}{\tau}} \right),$$

где k — коффициент связи между обмотками w_1 и w_2 .

С учётом (14) и (15) амплитуда выходного сигнала ФД будет равна:

$$U_{2m} = \frac{Ekw_2H_0 \left(H_m(\mu_1 - \mu_2) - \frac{B_r}{\mu_0} \right)}{w_1 \left[2\mu_1 - \frac{H_m(\mu_1 - \mu_2) + \frac{B_r}{\mu_0}}{H_m - H_0} - \frac{H_m(\mu_1 - \mu_2) + \frac{B_r}{\mu_0}}{H_m + H_0} \right]}, \quad (21)$$

где $H_m = \frac{I_m w_1}{l}$. Как следует из (21) при $H_m \gg H_0$ выходной сигнал ФД

прямопропорционален величине напряжённости измеряемого поля H_0 .

Выводы. Таким образом, в данной статье получены следующие результаты.

1. Разработана математическая модель импульсного режима возбуждения феррозонда, которая учитывает вихревые токи в сердечнике при перемагничивании.
2. Получена математическая зависимость коэффициента преобразования феррозонда при однополярном импульсном возбуждении.

Список использованной литературы:

1. Афанасьев Ю. В. Феррозондовые приборы / Ю. В. Афанасьев. — Л. : Энергоатомиздат, 1986. — 186 с.
2. Яковенко В. В. Феррозонд с однополярным импульсным возбуждением / В. В. Яковенко // Дефектоскопия. — 1984. — № 4. — С. 36–40.
3. Яковенко В. В. Определение параметров упрощённой схемы замещения цепи, содержащей индуктивность с сердечником, в импульсном режиме / В. В. Яковенко // Электромеханика. — 1984. — № 3. — С. 91–94.

Fluxgate is offered. Mathematical model takes into account the influence of vortex flows in cores fluxgate. Defined parameters of the equivalent scheme of a chain of excitation with pulse excitation. The transformation factor fluxgate which is raised by unipolar rectangular impulses is defined.

Key words: *fluxgate, an impulse, the electromagnetic field, the equivalent scheme, transformation factor, amplitude, vortex flows.*

Отримано: 03.10.2012